

УДК 532.528

Алгоритмы численного решения уравнений

Навье-Стокса при наличии кавитации¹

Н.Л. Маркина

Аннотация

В работе описан метод расчета вязких течений, учитывающий кавитационные эффекты. Для решения системы уравнений Навье-Стокса использован модифицированный метод PISO. Проведены тестовые расчеты течения жидкости через двумерный тракт переменного сечения.

Ключевые слова:

кавитация; двухфазное течение; PISO; уравнения Навье-Стокса; численное моделирование.

Математическая модель течения жидкости при наличии кавитации

С проблемой возникновения и развития кавитации сталкиваются при рассмотрении широкого круга вопросов, связанных с течением жидкости: от проектирования насосов, турбин, клапанов, жиклеров, до исследования тока крови в сосудах. Явление кавитации в гидравлических системах может сопровождаться рядом неблагоприятных эффектов такими как шум, эрозия, вибрация, увеличение потерь энергии, уменьшение КПД и др.

По сравнению с расчетом несжимаемых жидкостей задача моделирования кавитационных течений существенно усложняется [1-9]. На нелинейность уравнений Навье-Стокса накладывается нелинейность, присущая процессам межфазного обмена, что в значительной мере ужесточает требования к устойчивости и сходимости вычислительных

¹ Работа выполнена при поддержке РФФИ (проект № 08-08-00203-а)

алгоритмов. Кроме того, существенным фактором становится выбор метода связывания давления и плотности парожидкостной среды.

В настоящее время предложен ряд подходов к моделированию кавитационных течений, базирующихся на гомогенной модели и введении средней плотности смеси через объемное содержание фаз. Одним из распространенных методов получения пространственной неоднородности поля плотности является включение в систему уравнений Навье-Стокса уравнения состояния, позволяющего задать плотность как функцию от давления. Однако в работе [8] отмечается противоречивость такого подхода, связанная с тем, что баротропная зависимость плотности от давления ведет к обращению бароклинного момента в ноль. Другим распространенным подходом является введение в математическую модель уравнения переноса с источниковыми слагаемыми, регулирующими межфазный массообмен.

В настоящей работе описан алгоритм численного моделирования двумерного плоского течения вязкой парожидкостной смеси в тракте переменного сечения. Решается система нестационарных уравнений Навье-Стокса, неразрывности и фазового переноса:

$$\left\{ \begin{array}{l} \frac{\partial(\rho_m u)}{\partial t} + \frac{\partial}{\partial x}(\rho_m u^2 - \mu \frac{\partial u}{\partial x}) + \frac{\partial}{\partial y}(\rho_m uv - \mu \frac{\partial u}{\partial y}) - \frac{\partial P}{\partial x} \end{array} \right. \quad (1)$$

$$\left\{ \begin{array}{l} \frac{\partial(\rho_m v)}{\partial t} + \frac{\partial}{\partial x}(\rho_m uv - \mu \frac{\partial v}{\partial x}) + \frac{\partial}{\partial y}(\rho_m v^2 - \mu \frac{\partial v}{\partial y}) - \frac{\partial P}{\partial y} \end{array} \right. \quad (2)$$

$$\left\{ \begin{array}{l} \frac{\partial \rho_m}{\partial t} + \frac{\partial(\rho_m u)}{\partial x} + \frac{\partial(\rho_m v)}{\partial y} = 0 \end{array} \right. \quad (3)$$

$$\left\{ \begin{array}{l} \frac{\partial \alpha}{\partial t} + \frac{\partial(\alpha u)}{\partial x} + \frac{\partial(\alpha v)}{\partial y} = m^+ - m^- \end{array} \right. \quad (4)$$

$$\left\{ \begin{array}{l} \rho_m = \alpha \rho_l + (1 - \alpha) \rho_v \end{array} \right. \quad (5)$$

где t - время, u и v - компоненты вектора скорости, P - давление, ρ_m - эффективная плотность, α - объемная доля жидкой фазы, m^- - скорость испарения, m^+ - скорость конденсации пара, ρ_l - плотность жидкости, ρ_v - плотность пара, μ - динамическая вязкость.

В работах [4-6] источниковые члены m^+ и m^- являются функциями давления и содержат эмпирически определяемые коэффициенты C_{dest} и C_{prod} . Также известны подходы к вычислению коэффициентов C_{dest} и C_{prod} через нахождение скоростей интерфейсов между паром и жидкостью [8].

Для связи уравнения неразрывности и уравнения момента использован модифицированный алгоритм PISO [9], в котором дискретизация уравнений производится по методу контрольного объема на разнесенной сетке.

Вывод дискретных аналогов

Основная идея метода PISO [2] заключается в том, что для расчета давления используются два разностных уравнения для поправки поля давления, полученных из дискретных аналогов уравнений моментов и неразрывности. Такой подход связан с тем, что скорректированные первой поправкой скорости, могут не удовлетворять уравнению неразрывности, поэтому вводится второй корректор, который позволяет вычислить скорости и давления, удовлетворяющие линеаризованным уравнениям количества движения и неразрывности. Ниже приведен алгоритм получения уравнений для поправок давлений.

Используя процедуру, подробно описанную в [10], дискретный аналог уравнений (1)-(3) для нахождения скоростей u^* и v^* в контрольном объеме с гранями Δx и Δy можно записать в виде (предполагается, что известны поля плотности ρ_m^0 и давления P^0 ; узловые точки поля u имеют индексы $i + \frac{1}{2}, j$, узловые точки поля v имеют индексы $i, j + \frac{1}{2}$, узловые точки поля P имеют индексы i, j , где $i, j \in Z$):

$$\begin{aligned} u_{i+\frac{1}{2},j}^* & \left(\frac{\Delta x \Delta y}{\Delta t} \rho_{m_{i+\frac{1}{2},j}}^n + a_{i+\frac{3}{2},j} + a_{i-\frac{1}{2},j} + a_{i+\frac{1}{2},j+1} + a_{i+\frac{1}{2},j-1} \right) = \\ & = \frac{\Delta x \Delta y}{\Delta t} \rho_{m_{i+\frac{1}{2},j}}^n u_{i+\frac{1}{2},j}^n + a_{i+\frac{3}{2},j} u_{i+\frac{3}{2},j}^* + a_{i-\frac{1}{2},j} u_{i-\frac{1}{2},j}^* + a_{i+\frac{1}{2},j+1} u_{i+\frac{1}{2},j+1}^* + a_{i+\frac{1}{2},j-1} u_{i+\frac{1}{2},j-1}^* - (P_{i+1,j}^0 - P_{i,j}^0) \Delta y, \end{aligned} \quad (6.1)$$

$$\begin{aligned} v_{i,j+\frac{1}{2}}^* & \left(\frac{\Delta x \Delta y}{\Delta t} \rho_{m_{i,j+\frac{1}{2}}}^n + a_{i+1,j+\frac{1}{2}} + a_{i-1,j+\frac{1}{2}} + a_{i,j+\frac{3}{2}} + a_{i,j-\frac{1}{2}} \right) = \\ & = \frac{\Delta x \Delta y}{\Delta t} \rho_{m_{i,j+\frac{1}{2}}}^n v_{i,j+\frac{1}{2}}^n + a_{i+\frac{1}{2},j+\frac{1}{2}} v_{i+\frac{1}{2},j+\frac{1}{2}}^* + a_{i-\frac{1}{2},j+\frac{1}{2}} v_{i-\frac{1}{2},j+\frac{1}{2}}^* + a_{i,j+\frac{3}{2}} v_{i,j+\frac{3}{2}}^* + a_{i,j-\frac{1}{2}} v_{i,j-\frac{1}{2}}^* - (P_{i,j+1}^0 - P_{i,j}^0) \Delta x, \end{aligned} \quad (6.2)$$

где коэффициенты a вычисляются по формулам:

$$\begin{aligned} a_{x_{i+\frac{3}{2},j}} & = D_{i+1,j} A(|P_{ei+1,j}|) + \max(-F_{i+1,j}, 0), & a_{x_{i-\frac{1}{2},j}} & = D_{ij} A(|P_{eij}|) + \max(F_{ij}, 0), \\ a_{x_{i+\frac{1}{2},j+1}} & = D_{i+\frac{1}{2},j+\frac{1}{2}} A(|P_{e_{i+\frac{1}{2},j+\frac{1}{2}}}|) + \max(-F_{i+\frac{1}{2},j+\frac{1}{2}}, 0), & a_{x_{i+\frac{1}{2},j-1}} & = D_{i+\frac{1}{2},j-\frac{1}{2}} A(|P_{e_{i+\frac{1}{2},j-\frac{1}{2}}}|) + \max(F_{i+\frac{1}{2},j-\frac{1}{2}}, 0); \\ D_{i+1,j} & = \frac{\mu_{i+1,j} \Delta y}{x_{i+\frac{3}{2}} - x_{i+\frac{1}{2}}}, & D_{ij} & = \frac{\mu_{ij} \Delta y}{x_{i+\frac{1}{2}} - x_{i-\frac{1}{2}}}, & D_{i+\frac{1}{2},j+\frac{1}{2}} & = \frac{\mu_{i+\frac{1}{2},j+\frac{1}{2}} \Delta x}{y_{j+1} - y_j}, & D_{i+\frac{1}{2},j-\frac{1}{2}} & = \frac{\mu_{i+\frac{1}{2},j-\frac{1}{2}} \Delta x}{y_j - y_{j-1}}, \end{aligned}$$

$$F_{i+1j} = \rho_{mi+1j}^0 u_{i+1j} \Delta y, F_{ij} = \rho_{mij}^0 u_{ij} \Delta y, F_{i+\frac{1}{2}j\pm\frac{1}{2}} = \rho_{m_{i+\frac{1}{2}j\pm\frac{1}{2}}}^0 v_{i+\frac{1}{2}j\pm\frac{1}{2}} \Delta x,$$

- диффузная проводимость и интенсивность конвекции на гранях контрольного объема;

$$P_{ei+1j} = \frac{F_{i+1j}}{D_{i+1j}}, P_{ej} = \frac{F_{ij}}{D_{ij}}, P_{e_{i+\frac{1}{2}j\pm\frac{1}{2}}} = \frac{F_{i+\frac{1}{2}j\pm\frac{1}{2}}}{D_{i+\frac{1}{2}j\pm\frac{1}{2}}} - \text{числа Пекле; при решении в качестве}$$

аппроксимации конвективных членов использовалась схема со степенным законом распределения $A(P_e) = \max(0, 1 - 0.1 |P_e|^5)$.

Для конечного объема с центром в точке p можно записать уравнения (6.1) и (6.2) в операторном виде:

$$\mathbf{u}_p^* = \mathbf{H}(\mathbf{u}^*)_p - \mathbf{D}_p (\nabla P^0)_p + \frac{\Delta x \Delta y}{A_p^\phi \Delta t} (\rho_m \mathbf{u})_p^n, \quad (6.3)$$

где $\mathbf{u}_p = \begin{pmatrix} u_p \\ v_p \end{pmatrix}$ - вектор скорости, $\mathbf{H}(\mathbf{u})_p = \begin{pmatrix} \mathbf{H}(u)_p \\ \mathbf{H}(v)_p \end{pmatrix}$ - конечно-разностный оператор,

полученный при дискретизации конвективных и диффузионных потоков,

$\mathbf{D}_p = \begin{pmatrix} \mathbf{D}(u)_p & 0 \\ 0 & \mathbf{D}(v)_p \end{pmatrix}$ - матрица коэффициентов, где $\mathbf{D}(u)_p = \frac{\Delta y}{A_p^u}$ и $\mathbf{D}(v)_p = \frac{\Delta x}{A_p^v}$,

$(\nabla P)_p = \begin{pmatrix} (\nabla P)_p^x \\ (\nabla P)_p^y \end{pmatrix}$ - градиент давления в конечном объеме.

Т.к. скорости u^* и v^* не удовлетворяют уравнению неразрывности, то для нового поля давления P^* рассчитываются скорректированные скорости u^{**} и v^{**} :

$$\begin{aligned} u_{i+\frac{1}{2}j}^{**} & \left(\frac{\Delta x \Delta y}{\Delta t} \rho_{m_{i+\frac{1}{2}j}}^n + a_{i+\frac{3}{2}j} + a_{i-\frac{1}{2}j} + a_{i+\frac{1}{2}j+1} + a_{i+\frac{1}{2}j-1} \right) = \\ & = \frac{\Delta x \Delta y}{\Delta t} \rho_{m_{i+\frac{1}{2}j}}^n u_{i+\frac{1}{2}j}^n + a_{i+\frac{3}{2}j} u_{i+\frac{3}{2}j}^* + a_{i-\frac{1}{2}j} u_{i-\frac{1}{2}j}^* + a_{i+\frac{1}{2}j+1} u_{i+\frac{1}{2}j+1}^* + a_{i+\frac{1}{2}j-1} u_{i+\frac{1}{2}j-1}^* - (P_{i+1j}^* - P_{ij}^*) \Delta y, \quad (7.1) \end{aligned}$$

$$\begin{aligned} v_{ij+\frac{1}{2}}^{**} & \left(\frac{\Delta x \Delta y}{\Delta t} \rho_{m_{ij+\frac{1}{2}}}^n + a_{i+1j+\frac{1}{2}} + a_{i-1j+\frac{1}{2}} + a_{ij+\frac{3}{2}} + a_{ij-\frac{1}{2}} \right) = \\ & = \frac{\Delta x \Delta y}{\Delta t} \rho_{m_{ij+\frac{1}{2}}}^n v_{ij+\frac{1}{2}}^n + a_{i+\frac{1}{2}j+\frac{1}{2}} v_{i+\frac{1}{2}j+\frac{1}{2}}^* + a_{i-\frac{1}{2}j+\frac{1}{2}} v_{i-\frac{1}{2}j+\frac{1}{2}}^* + a_{ij+\frac{3}{2}} v_{ij+\frac{3}{2}}^* + a_{ij-\frac{1}{2}} v_{ij-\frac{1}{2}}^* - (P_{ij+1}^* - P_{ij}^*) \Delta x, \quad (7.2) \end{aligned}$$

Вычитая из уравнений (7) уравнения (6) получим выражения для коррекции скоростей:

$$u_{i+\frac{1}{2}j}^{**} = u_{i+\frac{1}{2}j}^* + u'_{i+\frac{1}{2}j} = u_{i+\frac{1}{2}j}^* - \frac{\Delta y}{A_{i+\frac{1}{2}j}} (P'_{i+1j} - P'_{ij}), \quad (8.1)$$

$$v_{ij+\frac{1}{2}}^{**} = v_{ij+\frac{1}{2}}^* + v'_{ij+\frac{1}{2}} = v_{ij+\frac{1}{2}}^* - \frac{\Delta x}{A_{ij+\frac{1}{2}}} (P'_{ij+1} - P'_{ij}), \quad (8.2)$$

где

$$A_{i+\frac{1}{2}j} = \left(\frac{\Delta x \Delta y}{\Delta t} \rho_{m_{i+\frac{1}{2}j}}^n + a_{i+\frac{3}{2}j} + a_{i-\frac{1}{2}j} + a_{i+\frac{1}{2}j+1} + a_{i+\frac{1}{2}j-1} \right)^{-1}, \quad A_{ij+\frac{1}{2}} = \left(\frac{\Delta x \Delta y}{\Delta t} \rho_{m_{ij+\frac{1}{2}}}^n + a_{i+1j+\frac{1}{2}} + a_{i-1j+\frac{1}{2}} + a_{ij+\frac{3}{2}} + a_{ij-\frac{1}{2}} \right)^{-1}$$

или в операторном виде:

$$\mathbf{u}_p^{**} = \mathbf{u}_p^* - \mathbf{D}_p (\nabla P')_p. \quad (8.3)$$

Связывание полей плотности и давления производится через введение аналога скорости звука C_ρ по формуле:

$$\rho_{mij}^* = \rho_{mij}^0 + \rho'_{mij} = \rho_{ij}^0 + C_{\rho ij} P'_{ij}. \quad (9)$$

Уравнение неразрывности для новых полей скорости и плотности принимает вид:

$$\frac{\rho_{mij}^* - \rho_{mij}^n}{\Delta t} \Delta x \Delta y + \rho_{i+\frac{1}{2}j}^* u_{i+\frac{1}{2}j}^{**} \Delta y - \rho_{i-\frac{1}{2}j}^* u_{i-\frac{1}{2}j}^{**} \Delta y + \rho_{ij+\frac{1}{2}}^* v_{ij+\frac{1}{2}}^{**} \Delta x - \rho_{i-\frac{1}{2}j}^* v_{i-\frac{1}{2}j}^{**} \Delta x = 0. \quad (10)$$

Подстановка в уравнение неразрывности (10) выражений (9) и (8) приводит к уравнению для нахождения поправок давления P' :

$$\begin{aligned} & P'_{ij} \left(\frac{\Delta x \Delta y}{\Delta t} C_{\rho ij} + \rho_{m_{i+\frac{1}{2}j}}^0 \frac{\Delta y^2}{A_{i+\frac{1}{2}j}} + \rho_{m_{i-\frac{1}{2}j}}^0 \frac{\Delta y^2}{A_{i-\frac{1}{2}j}} + \rho_{m_{ij+\frac{1}{2}}}^0 \frac{\Delta x^2}{A_{ij+\frac{1}{2}}} + \rho_{m_{ij-\frac{1}{2}}}^0 \frac{\Delta x^2}{A_{ij-\frac{1}{2}}} + \right. \\ & + C_{\rho_{i+\frac{1}{2}j}} \max(u_{i+\frac{1}{2}j}^*, 0) \Delta y + C_{\rho_{i-\frac{1}{2}j}} \max(-u_{i-\frac{1}{2}j}^*, 0) \Delta y + C_{\rho_{ij+\frac{1}{2}}} \max(v_{ij+\frac{1}{2}}^*, 0) \Delta x + \\ & + C_{\rho_{ij-\frac{1}{2}}} \max(-v_{ij-\frac{1}{2}}^*, 0) \Delta x \left. \right) + P'_{i+1j} \left(-\rho_{m_{i+\frac{1}{2}j}}^0 \frac{\Delta y^2}{A_{i+\frac{1}{2}j}} - C_{\rho_{i+\frac{1}{2}j}} \max(-u_{i+\frac{1}{2}j}^*, 0) \Delta y \right) + \\ & + P'_{i-1j} \left(-\rho_{m_{i-\frac{1}{2}j}}^0 \frac{\Delta y^2}{A_{i-\frac{1}{2}j}} - C_{\rho_{i-\frac{1}{2}j}} \max(u_{i-\frac{1}{2}j}^*, 0) \Delta y \right) + P'_{ij+1} \left(-\rho_{m_{ij+\frac{1}{2}}}^0 \frac{\Delta x^2}{A_{ij+\frac{1}{2}}} - C_{\rho_{ij+\frac{1}{2}}} \max(-v_{ij+\frac{1}{2}}^*, 0) \Delta x \right) + \\ & + P'_{ij-1} \left(-\rho_{m_{ij-\frac{1}{2}}}^0 \frac{\Delta x^2}{A_{ij-\frac{1}{2}}} - C_{\rho_{ij-\frac{1}{2}}} \max(v_{ij-\frac{1}{2}}^*, 0) \Delta x \right) \end{aligned}$$

$$\begin{aligned}
& +P'_{ij-1}(-\rho_{m_{ij-\frac{1}{2}}}^0 \frac{\Delta x^2}{A_{ij-\frac{1}{2}}} - C_{\rho_{ij-\frac{1}{2}}} \max(v_{ij-\frac{1}{2}}^*, 0)\Delta x) = -\frac{\rho_{m_{ij}^0} - \rho_{m_{ij}^n}}{\Delta t} \Delta x \Delta y - (\rho_{m_{i+\frac{1}{2}j}^0} u_{i+\frac{1}{2}j}^* \Delta y - \\
& - \rho_{m_{i-\frac{1}{2}j}^0} u_{i-\frac{1}{2}j}^* \Delta y + \rho_{m_{ij+\frac{1}{2}}^0} v_{ij+\frac{1}{2}}^* \Delta x - \rho_{m_{ij-\frac{1}{2}}^0} v_{ij-\frac{1}{2}}^* \Delta x) \quad (11.1)
\end{aligned}$$

или в операторной форме:

$$\frac{\Delta x \Delta y}{\Delta t} (C_{\rho} P')_p + \Delta (C_{\rho} P' U^*)_p - \Delta (\rho_m^0 \mathbf{D}(\nabla P') \cdot \mathbf{S})_p - \frac{\rho_{mp}^0 - \rho_{mp}^n}{\Delta t} \Delta x \Delta y - \Delta (\rho_m^0 U^*)_p. \quad (11.2)$$

При выводе уравнения (11) слагаемыми вида $(C_{\rho} P' \mathbf{D}(\nabla P') \cdot \mathbf{S})_p$ пренебрегается.

Следует отметить, что для дискретизации членов $\Delta (C_{\rho} P' U^*)_p$ необходимо применение противопоточной схемы. В работе использовалась схема против потока первого порядка.

При вычитании из уравнения (7) уравнения (6) слагаемые, содержащие оператор \mathbf{H} , сокращаются, что приводит к необходимости ввода второго корректора для получения полей u^{***} , v^{***} и P^{**} . Аналогично уравнению (6) записывается дискретный аналог уравнений (1)-(3) для полей u^{***} и v^{***} :

$$\begin{aligned}
& u_{i+\frac{1}{2}j}^{***} \left(\frac{\Delta x \Delta y}{\Delta t} \rho_{m_{i+\frac{1}{2}j}^n} + a_{i+\frac{3}{2}j} + a_{i-\frac{1}{2}j} + a_{i+\frac{1}{2}j+1} + a_{i+\frac{1}{2}j-1} \right) = \\
& = \frac{\Delta x \Delta y}{\Delta t} \rho_{m_{i+\frac{1}{2}j}^n} u_{i+\frac{1}{2}j}^n + a_{i+\frac{3}{2}j} u_{i+\frac{3}{2}j}^{**} + a_{i-\frac{1}{2}j} u_{i-\frac{1}{2}j}^{**} + a_{i+\frac{1}{2}j+1} u_{i+\frac{1}{2}j+1}^{**} + a_{i+\frac{1}{2}j-1} u_{i+\frac{1}{2}j-1}^{**} - (P_{i+1j}^{**} - P_{ij}^{**}) \Delta y, \quad (12.1)
\end{aligned}$$

$$\begin{aligned}
& v_{ij+\frac{1}{2}}^{***} \left(\frac{\Delta x \Delta y}{\Delta t} \rho_{m_{ij+\frac{1}{2}}^n} + a_{i+1j+\frac{1}{2}} + a_{i-1j+\frac{1}{2}} + a_{ij+\frac{3}{2}} + a_{ij-\frac{1}{2}} \right) = \\
& = \frac{\Delta x \Delta y}{\Delta t} \rho_{m_{ij+\frac{1}{2}}^n} v_{ij+\frac{1}{2}}^n + a_{i+\frac{1}{2}j+\frac{1}{2}} v_{i+\frac{1}{2}j+\frac{1}{2}}^{**} + a_{i-\frac{1}{2}j+\frac{1}{2}} v_{i-\frac{1}{2}j+\frac{1}{2}}^{**} + a_{ij+\frac{3}{2}} v_{ij+\frac{3}{2}}^{**} + a_{ij-\frac{1}{2}} v_{ij-\frac{1}{2}}^{**} - (P_{ij+1}^{**} - P_{ij}^{**}) \Delta x. \quad (12.2)
\end{aligned}$$

Вычитая из уравнений (12) уравнения (7) получим выражения для коррекции скоростей:

$$u_{i+\frac{1}{2}j}^{***} = u_{i+\frac{1}{2}j}^{**} + u_{i+\frac{1}{2}j}^n = u_{i+\frac{1}{2}j}^{**} + \frac{1}{A_{i+\frac{1}{2}j}} \sum a_{nk} (u_{nk}^{**} - u_{nk}^*) - d_{i+\frac{1}{2}j} (P_{i+1j}^n - P_{ij}^n), \quad (13.1)$$

$$v_{ij+\frac{1}{2}}^{***} = v_{ij+\frac{1}{2}}^{**} + v_{ij+\frac{1}{2}}^n = v_{ij+\frac{1}{2}}^{**} + \frac{1}{A_{ij+\frac{1}{2}}} \sum a_{nk} (v_{nk}^{**} - v_{nk}^*) - d_{ij+\frac{1}{2}} (P_{ij+1}^n - P_{ij}^n), \quad (13.2)$$

где $d_{i+\frac{1}{2}j} = \frac{\Delta y}{A_{i+\frac{1}{2}j}}$, $d_{ij+\frac{1}{2}} = \frac{\Delta x}{A_{ij+\frac{1}{2}}}$

В операторном виде выражения (13.1) и (13.2) записываются как

$$\mathbf{u}_p^{***} = \mathbf{u}_p^{**} + \mathbf{H}(\mathbf{u}^{**} - \mathbf{u}^*)_p - \mathbf{D}_p(\nabla P^n)_p. \quad (13.3)$$

Коррекция полей плотности и давления производится по формулам:

$$\rho_{mij}^{**} = \rho_{mij}^* + \rho_{mij}^n = \rho_{ij}^{**} + C_{\rho ij} P_{ij}^n, \quad (14)$$

$$P_{ij}^{**} = P_{ij}^* + P_{ij}^n. \quad (15)$$

Подставляя в уравнение неразрывности

$$\frac{\rho_{mij}^{**} - \rho_{mij}^n}{\Delta t} \Delta x \Delta y + \rho_{i+\frac{1}{2}j}^{**} u_{i+\frac{1}{2}j}^{***} \Delta y - \rho_{i-\frac{1}{2}j}^{**} u_{i-\frac{1}{2}j}^{***} \Delta y + \rho_{ij+\frac{1}{2}}^{**} v_{ij+\frac{1}{2}}^{***} \Delta x - \rho_{ij-\frac{1}{2}}^{**} v_{ij-\frac{1}{2}}^{***} \Delta x = 0 \quad (16)$$

выражения для поправки плотности (14) и скоростей (13), получим уравнения для вычисления поправки давления P^n :

$$\begin{aligned} & P_{ij}^n \left(\frac{\Delta x \Delta y}{\Delta t} C_{\rho ij} + \rho_{m_{i+\frac{1}{2}j}}^* d_{i+\frac{1}{2}j} \Delta y + \rho_{m_{i-\frac{1}{2}j}}^* d_{i-\frac{1}{2}j} \Delta y + \rho_{m_{ij+\frac{1}{2}}}^* d_{ij+\frac{1}{2}} \Delta x + \rho_{m_{ij-\frac{1}{2}}}^* d_{ij-\frac{1}{2}} \Delta x + \right. \\ & + C_{\rho_{i+\frac{1}{2}j}} \max(u_{i+\frac{1}{2}j}^{**}, 0) \Delta y + C_{\rho_{i-\frac{1}{2}j}} \max(-u_{i-\frac{1}{2}j}^{**}, 0) \Delta y + C_{\rho_{ij+\frac{1}{2}}} \max(v_{ij+\frac{1}{2}}^{**}, 0) \Delta x + C_{\rho_{ij-\frac{1}{2}}} \max(-v_{ij-\frac{1}{2}}^{**}, 0) \Delta x) + \\ & + P_{i+1j}^n (-\rho_{m_{i+\frac{1}{2}j}}^* d_{i+\frac{1}{2}j} \Delta y - C_{\rho_{i+\frac{1}{2}j}} \max(-u_{i+\frac{1}{2}j}^{**}, 0) \Delta y) + P_{i-1j}^n (-\rho_{m_{i-\frac{1}{2}j}}^* d_{i-\frac{1}{2}j} \Delta y - C_{\rho_{i-\frac{1}{2}j}} \max(u_{i-\frac{1}{2}j}^{**}, 0) \Delta y) + \\ & + P_{ij+1}^n (-\rho_{m_{ij+\frac{1}{2}}}^* d_{ij+\frac{1}{2}} \Delta x - C_{\rho_{ij+\frac{1}{2}}} \max(-v_{ij+\frac{1}{2}}^{**}, 0) \Delta x) + P_{ij-1}^n (-\rho_{m_{ij-\frac{1}{2}}}^* d_{ij-\frac{1}{2}} \Delta x - C_{\rho_{ij-\frac{1}{2}}} \max(v_{ij-\frac{1}{2}}^{**}, 0) \Delta x) = \\ & = -\frac{\rho_{mij}^* - \rho_{mij}^n}{\Delta t} \Delta x \Delta y - (\rho_{m_{i+\frac{1}{2}j}}^* u_{i+\frac{1}{2}j}^{**} \Delta y - \rho_{m_{i-\frac{1}{2}j}}^* u_{i-\frac{1}{2}j}^{**} \Delta y + \rho_{m_{ij+\frac{1}{2}}}^* v_{ij+\frac{1}{2}}^{**} \Delta x - \rho_{m_{ij-\frac{1}{2}}}^* v_{ij-\frac{1}{2}}^{**} \Delta x) - \\ & = -\left(\frac{\Delta y}{A_{i+\frac{1}{2}j}} \rho_{m_{i+\frac{1}{2}j}}^* \sum_{i+\frac{1}{2}j} a_{i+\frac{1}{2}j} (u^{**} - u^*) - \frac{\Delta y}{A_{i-\frac{1}{2}j}} \rho_{m_{i-\frac{1}{2}j}}^* \sum_{i-\frac{1}{2}j} a_{i-\frac{1}{2}j} (u^{**} - u^*) + \right. \\ & + \frac{\Delta x}{A_{ij+\frac{1}{2}}} \rho_{m_{ij+\frac{1}{2}}}^* \sum_{ij+\frac{1}{2}} a_{ij+\frac{1}{2}} (v^{**} - v^*) - \frac{\Delta x}{A_{ij-\frac{1}{2}}} \rho_{m_{ij-\frac{1}{2}}}^* \sum_{ij-\frac{1}{2}} a_{ij-\frac{1}{2}} (v^{**} - v^*) \left. \right) \end{aligned} \quad (17.1)$$

или в операторной форме:

$$\begin{aligned} & \frac{\Delta x \Delta y}{\Delta t} (C_{\rho} P^n)_p + \Delta (C_{\rho} P^n U^{**})_p - \Delta (\rho_m^* \mathbf{D}(\nabla P^n) \cdot \mathbf{S})_p - \frac{\rho_{mp}^* - \rho_{mp}^n}{\Delta t} \Delta x \Delta y - \Delta (\rho_m^* U^{**})_p - \\ & - \Delta (\rho_m^* \mathbf{H}(\mathbf{u}^{**} - \mathbf{u}^*) \cdot \mathbf{S})_p \end{aligned} \quad (17.2)$$

Уравнение переноса (4) дискретизировалось в недивергентной форме с использованием противопоточной схемы первого порядка точности:

$$\frac{\alpha_{ij}^{k+1} - \alpha_{ij}^k}{\Delta t} + \max(u_{ij}^{k+1}, 0) \frac{\alpha_{i+1j}^{k+1} - \alpha_{ij}^{k+1}}{x_{i+1} - x_i} + \max(-u_{ij}^{k+1}, 0) \frac{\alpha_{ij}^{k+1} - \alpha_{i-1j}^{k+1}}{x_i - x_{i-1}} + \max(v_{ij}^{k+1}, 0) \frac{\alpha_{ij+1}^{k+1} - \alpha_{ij}^{k+1}}{y_{j+1} - y_j} +$$

$$+ \max(-v_{ij}^{k+1}, 0) \frac{\alpha_{ij}^{k+1} - \alpha_{ij-1}^{k+1}}{y_j - y_{j-1}} + \alpha_{ij}^{k+1} \left(\frac{\partial u}{\partial x} \Big|_{ij}^{k+1} + \frac{\partial v}{\partial y} \Big|_{ij}^{k+1} \right) m_{ij}^+ - m_{ij}^-.$$

Чтобы предотвратить схемные осцилляции, слагаемое

$$\alpha_{ij}^{k+1} \left(\frac{\partial u}{\partial x} \Big|_{ij}^{k+1} + \frac{\partial v}{\partial y} \Big|_{ij}^{k+1} \right)$$

заменялось эквивалентным

$$\frac{\alpha_{ij}^{k+1}}{\rho_{mij}^{k+1}} \left(-u_{ij}^{k+1} \frac{\partial \rho_m}{\partial x} \Big|_{ij}^{k+1} - v_{ij}^{k+1} \frac{\partial \rho_m}{\partial y} \Big|_{ij}^{k+1} - \frac{\rho_{mij}^{k+1} - \rho_{mij}^k}{\Delta t} \right),$$

полученным из уравнения неразрывности.

Алгоритм расчета

Считая поля скорости, давления, плотности известными на n -ом шаге, полный шаг по времени можно записать в следующем виде:

1. Принимая $P^0 = P^n$, $u^0 = u^n$, $v^0 = v^n$, $\rho_m^0 = \rho_m^n$, $\alpha^* = \alpha^n$ вычислить поля скоростей u^* и v^* по формуле (6.3) с использованием неявной схемы.
2. Найти величину аналога скорости звука C_p по формуле $C_p = C(1 - \alpha^* + \varepsilon)$, где C и ε - константы.
3. Вычислить поле поправок давления P' , решая уравнение (11.2) с использованием неявной схемы.
4. Скорректировать поля скоростей используя (8.3) и найти поле давления $P_{ij}^* = P_{ij}^0 + P'_{ij}$.
5. Решая уравнение

$$\frac{\alpha_{ij}^{**} - \alpha_{ij}^n}{\Delta t} + \max(u_{ij}^{**}, 0) \frac{\alpha_{i+1j}^{**} - \alpha_{ij}^{**}}{x_{i+1} - x_i} + \max(-u_{ij}^{**}, 0) \frac{\alpha_{ij}^{**} - \alpha_{i-1j}^{**}}{x_i - x_{i-1}} + \max(v_{ij}^{**}, 0) \frac{\alpha_{ij+1}^{**} - \alpha_{ij}^{**}}{y_{j+1} - y_j} +$$

$$+ \max(-v_{ij}^{**}, 0) \frac{\alpha_{ij}^{**} - \alpha_{ij-1}^{**}}{y_j - y_{j-1}} + \frac{\alpha_{ij}^{**}}{\rho_{mij}^0} \left(-u_{ij}^{**} \frac{\partial \rho_m}{\partial x} \Big|_{ij}^0 - v_{ij}^{**} \frac{\partial \rho_m}{\partial y} \Big|_{ij}^0 - \frac{\rho_{mij}^0 - \rho_{mij}^n}{\Delta t} \right) m_{ij}^+ - m_{ij}^-,$$

вычислить значение объемной доли жидкой фазы α^{**} .

6. Найти поле плотности жидкости $\rho_m^* = \alpha^{**} \rho_l + (1 - \alpha^{**}) \rho_v$.
7. Рассчитать величину аналога скорости звука $C_p = C(1 - \alpha^{**} + \varepsilon)$.

8. Вычислить поле поправок давления P'' , решая уравнение (17.2) с использованием неявной схемы.

9. Скорректировать поля скоростей по формуле (13.3) и найти поле давления

$$P_{ij}^{**} = P_{ij}^* + P_{ij}''.$$

10. Из уравнения

$$\begin{aligned} & \frac{\alpha_{ij}^{***} - \alpha_{ij}^n}{\Delta t} + \max(u_{ij}^{***}, 0) \frac{\alpha_{i+1j}^{***} - \alpha_{ij}^{***}}{x_{i+1} - x_i} + \max(-u_{ij}^{***}, 0) \frac{\alpha_{ij}^{***} - \alpha_{i-1j}^{***}}{x_i - x_{i-1}} + \max(v_{ij}^{***}, 0) \frac{\alpha_{ij+1}^{***} - \alpha_{ij}^{***}}{y_{j+1} - y_j} + \\ & + \max(-v_{ij}^{***}, 0) \frac{\alpha_{ij}^{***} - \alpha_{ij-1}^{***}}{y_j - y_{j-1}} + \frac{\alpha_{ij}^{***}}{\rho_{mij}^*} \left(-u_{ij}^{***} \frac{\partial \rho_m}{\partial x} \Big|_{ij}^* - v_{ij}^{***} \frac{\partial \rho_m}{\partial y} \Big|_{ij}^* - \frac{\rho_{mij}^* - \rho_{mij}^n}{\Delta t} \right) \dot{m}_{ij}^+ - \dot{m}_{ij}^- \end{aligned}$$

найти значение объемной доли жидкой фазы α^{***} .

11. Вычислить поле плотности жидкости $\rho_m^{**} = \alpha^{***} \rho_l + (1 - \alpha^{***}) \rho_v$.

12. Полагая $P^0 = P^{**}$, $u^* = u^{***}$, $v^* = v^{***}$, $\rho_m^0 = \rho_m^{**}$, $\alpha^* = \alpha^{***}$, повторить итерации 2 – 11.

Процесс массообмена, происходящий в областях жидкости с давлением близким к критическому значению давления P_{cav} , моделируется членами \dot{m}^+ и \dot{m}^- уравнения (4), представляющими скорость конденсации и испарения жидкости. В данной работе скорость массообмена вычислялась по формулам:

$$\dot{m}^+ = \frac{C_{prod} \max(P - P_{cav}, 0)(1 - \alpha)}{(0.5 \rho_l U_\infty^2) t_\infty}, \quad \dot{m}^- = - \frac{C_{dest} \rho_l \min(P - P_{cav}, 0) \alpha}{\rho_v (0.5 \rho_l U_\infty^2) t_\infty},$$

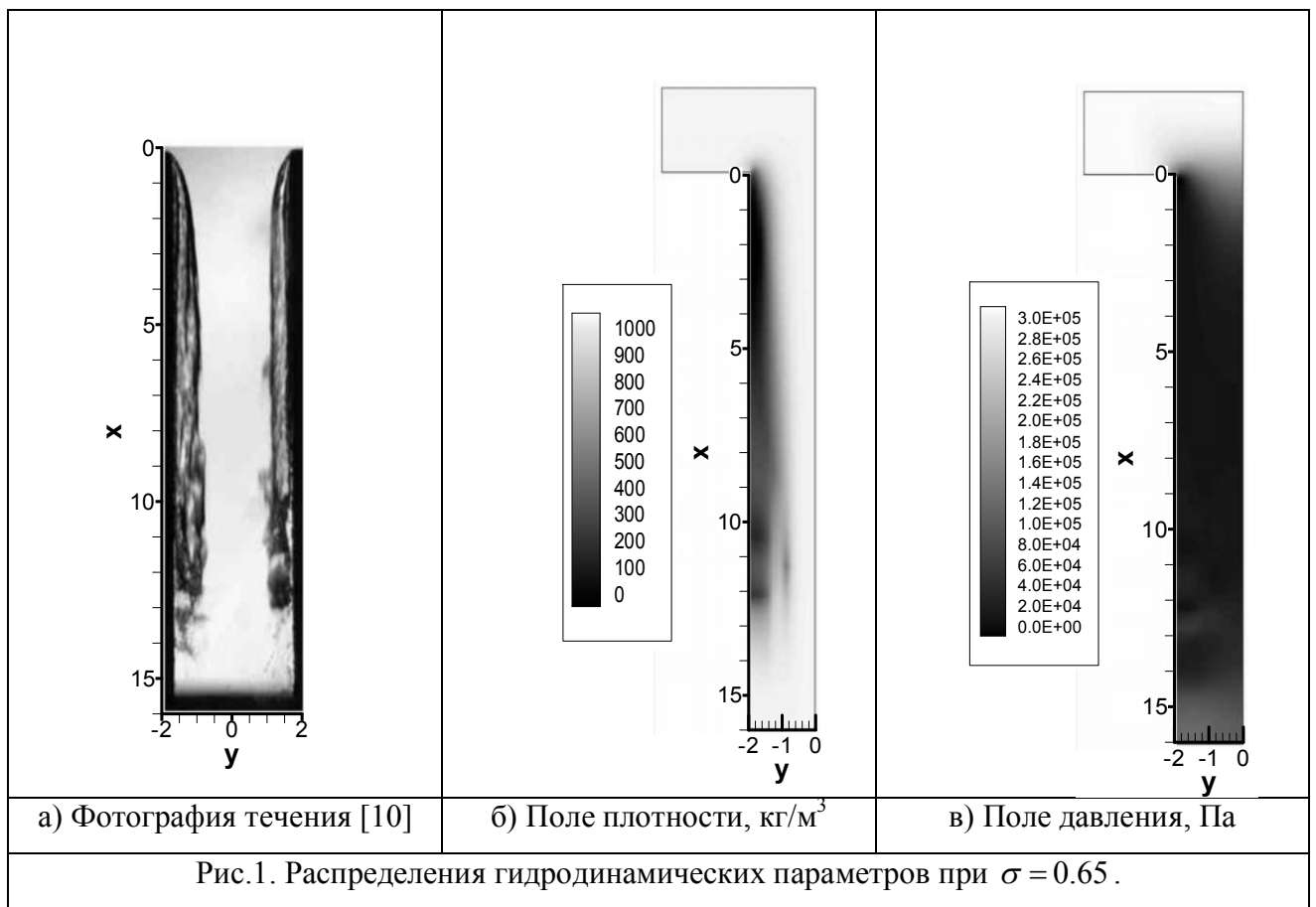
где U_∞ - средняя скорость течения в невозмущенном потоке; $t_\infty = \frac{L_{ch}}{U_\infty}$ - характерный

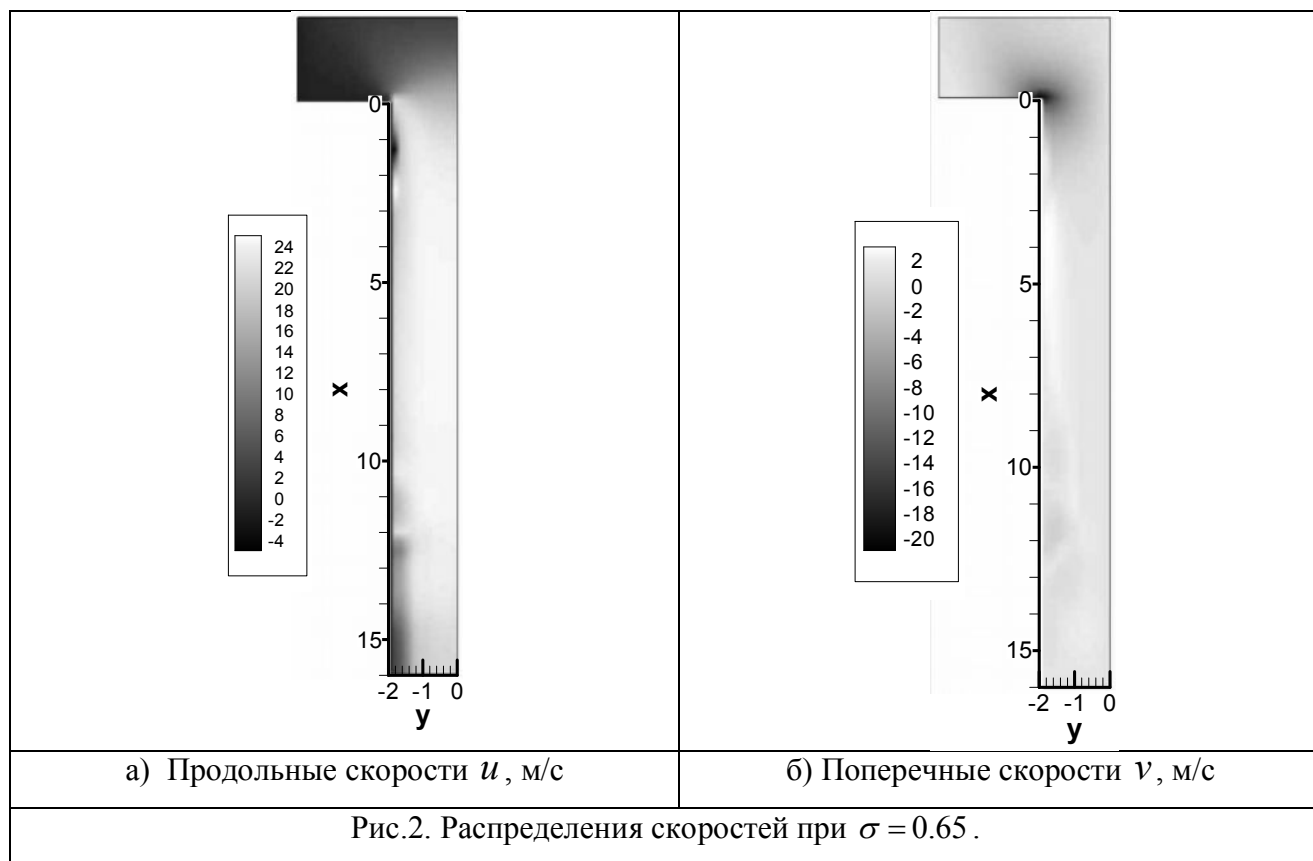
временной масштаб; L_{ch} - длина тракта; C_{dest} , C_{prod} - эмпирически определяемые коэффициенты. Подробный анализ кавитационных моделей и влияния величины коэффициентов C_{dest} и C_{prod} на характеристики течения приведен в [1].

Для связывания полей плотности и давления использовалось соотношение $\rho_m' = C(1 - \alpha + \varepsilon)P'$, где C - константа, величина которой не влияет на результат вычислительного эксперимента, но выбор большого значения C может дестабилизировать расчет; при малом значении C значительно замедляется скорость сходимости итерационного процесса. В данной работе $C = 2$.

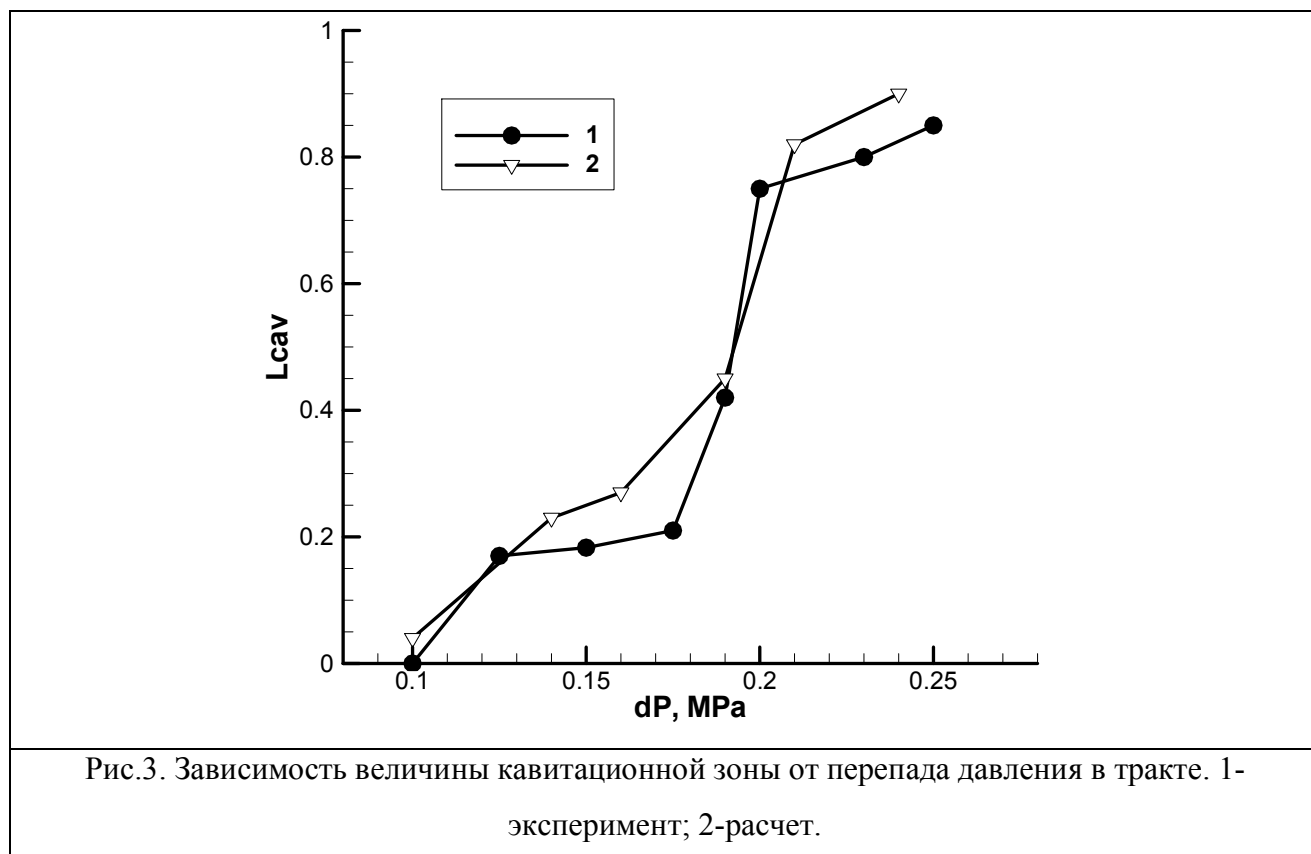
Результаты тестовых расчетов

Для верификации описанного алгоритма рассматривается задача течения жидкости с кинематической вязкостью $10^{-6} \text{ м}^2/\text{с}$ в плоском тракте длиной 23 мм. Жидкость из входного сечения шириной 32 мм поступает в узкое сечение тракта шириной 4 мм и длиной 16 мм. Так как течение имеет вертикальную ось симметрии, в качестве расчетной области рассматривается половина тракта. На стенках тракта ставятся условия прилипания, на входе в тракт задается профиль скорости u . Истечение жидкости производится в среду с атмосферным давлением, критическое давление P_{cav} равняется 3 КПа. Плотность пара ρ_v считается равной 1 кг/м^3 . В численных экспериментах применяется ламинарная модель течения. На рисунках 1 и 2 приведены расчетные мгновенные поля распределения гидродинамических параметров для режима суперкавитации.





На рисунке 3 показана зависимость относительной величины кавитационной зоны $L_{cav} = \frac{\overline{L_{cav}}}{L_N}$, где $\overline{L_{cav}}$ - абсолютная длина кавитационной зоны, L_N - длина узкой части тракта, от величины перепада давления dP в тракте. Наблюдается хорошее согласование рассчитанной и экспериментальной [11] кривых.



Выводы

В настоящей работе представлена реализация алгоритма PISO, учитывающая кавитационные эффекты при помощи введения эмпирических параметров скорости конденсации и испарения жидкости. Для апробации алгоритма разработан программный комплекс, проведены численные расчеты течения вязкой жидкости в плоском тракте переменного сечения. Выявлено, что описанный алгоритм обеспечивает надежную сходимость итераций.

Библиографический список

1. Frikha S., Coutier-Delgosha O., Astolfi J. A. Influence of the Cavitation Model on the Simulation of Cloud Cavitation on 2D Foil Section. //International Journal of Rotating Machinery. - 2008. - pp. 1-12.
2. Issa R.I. Solution of the implicitly discretised fluid flow equations by operator-splitting. //Journal of Computational Physics. – 1985. – vol. 62. - pp. 40-65.
3. Wang G., Ostoja-Starzewski M. Large eddy simulation of a sheet/cloud cavitation on a NASA0015 hydrofoil. //Applied Mathematical Modeling. - 2007. - vol. 31. – pp. 417-447.

4. Merkle C.L., Feng J.Z., Buelow P.E.O. Computational modeling of the dynamics of sheet cavitation. //Third International Symposium on Cavitation. - 1998. – pp. 307-311.
5. Kunz R.F., Boger D.A., Stinebring D.R., Chyczewski T.S., Lindau J.W., Gibeling H.J., Venkateswaran S., Govindan T.R. A preconditioned Navier–Stokes method for two-phase flows with application to cavitation prediction. //Computers and Fluids. – 2000. - vol. 29. – pp. 849-875.
6. Singhal A.K., Vaidya N. and Leonard A.D. Multi-dimensional Simulation of Cavitating Flows Using a PDF Model for Phase Change. ASME FED Meeting. Paper No. FEDSM'97-3272. – 1997.
7. Lee C., Tae-Seong R. Flow instability due to cryogenic cavitation in the downstream of orifice. //Journal of Mechanical Science and Technology. – 2009. - vol. 23. – pp. 623-649.
8. Senocak I., Shyy W. Interfacial Dynamics-Based Modeling of Turbulent Cavitating Flows, Part-1: Model development and steady-state computations. //Int. J. for Num. Methods in Fluids. - 2004. - vol. 44. – pp. 975-995.
9. Senocak I., Shyy W. Interfacial dynamics-based modelling of turbulent cavitating flows, Part-2: Time-dependent computations. //Int. J. for Num. Methods in Fluids. - 2004. - vol. 44. – pp. 997-1016.
10. Патанкар С. Численные методы решения задач теплообмена и динамики жидкости. – М.: Энергоатомиздат, 1984. – 152 с.
11. Sou A., Tomiyama A., Hosokawa S., Nigorikawa S., Maeda T. Cavitation in a two-dimensional nozzle and liquid jet atomization (LDV Measurement of liquid velocity in a nozzle). //JSME International Journal. – 2006. - vol. 49, No. 4. – pp. 1253-1259.
12. Сиов Б.Н. Истечение жидкости через насадки. – М.: Машиностроение, 1968. – 140 с.

Сведения об авторах

Маркина Надежда Леонидовна, аспирант Московского авиационного института (государственного технического университета).

Нижняя Первомайская ул., 50, кв.79, Москва, 105203;
 тел.: 8-910-472-34-39; e-mail: markina_n@list.ru